

О РАСПИРЕНИИ В ВАКУУМ РАЗРЕЖЕННОЙ ПЛАЗМЫ
С ИОНАМИ ДВУХ СОРТОВ

B. M. Гефтер

(Москва)

Исследовалось одномерное расширение в вакуум разнотемпературной плазмы с двумя сортами ионов. В плазме с максвелловским распределением ионов по скоростям отмечено распространение волны разрежения, границей которой является слабый разрыв, движущийся со скоростью ионного звука в плазме. Найдена величина этой скорости в плазме рассматриваемого типа. Основное внимание уделено нахождению первых двух моментов функций распределения — средних скоростей и плотностей тяжелых частиц. Получено приближенное асимптотическое решение системы уравнений переноса в случае близости масс обоих сортов ионов и их численное решение на ЭВЦМ. Подробно анализируются некоторые особенности найденных решений, характерные для плазмы с различными по массе сортами ионов.

1. Пусть в начальный момент времени плазма занимает полупространство $x < 0$ и начинает расширяться в вакуум ($x > 0$) в момент $t = 0$. Плазма описывается бесстолкновительными кинетическими уравнениями с самосогласованным полем

$$\frac{\partial f_e}{\partial t} + v \frac{\partial f_e}{\partial x} + \frac{e}{m} \frac{\partial \Phi}{\partial x} \frac{\partial f_e}{\partial v} = 0 \quad (1.1)$$

$$\frac{\partial f_i}{\partial t} + v \frac{\partial f_i}{\partial x} - \frac{e}{M_i} \frac{\partial f_i}{\partial x} \frac{\partial f_i}{\partial v_i} = 0 \quad (i = 1, 2) \quad (1.2)$$

$$\frac{\partial^2 \Phi}{\partial x^2} = -4\pi e (N_1 + N_2 - N_e), \quad N_k = \int_{-\infty}^{\infty} f_k(x, t, v) dv \quad (1.3)$$

Здесь f_k — функция распределения частиц k -го сорта, N_k — их концентрация, Φ — потенциал электрического поля, M_i — масса ионов i -го сорта, m — масса электрона.

Для простой (электроны и ионы одного сорта) плазмы задача о разлете в вакуум рассматривается в работе [1], и ее решение будем считать справедливым в случае равенства масс обоих сортов ионов.

При рассмотрении начальной стадии процесса расширения плазмы авторы приходят к выводу, что движение плазмы быстро приближается к автомодельному. Действительно, через некоторое достаточно малое время $t > (M_2 / 2T_e)^{1/2} D_i$ характерный размер неоднородностей в плазме становится много больше ионного радиуса Дебая D_i . Поэтому (см. [4]) с этого момента плазму можно считать квазинейтральной, а распределение электронов — больцмановским, что в конечном счете и позволяет искать решение уравнений (1.2) в классе автомодельных решений, т. е. полагая $f_i = f_i(x/t, v)$. Вводя безразмерные переменные

$$\tau = \left(\frac{M_1}{2T_e} \right)^{1/2} \frac{x}{t}, \quad u_i = \left(\frac{M_1}{2T_e} \right)^{1/2} v_i, \quad g_i = \left(\frac{2\pi T_e}{M_1} \right)^{1/2} f_i$$

получаем уравнения для безразмерной функции распределения

$$(u_1 - \tau) \frac{\partial g_2}{\partial \tau} - \frac{1}{2} \frac{\partial g_2}{\partial u_1} \frac{d}{d\tau} \left(\ln \int_{-\infty}^{\infty} [g_1 + g_2] du \right) = 0 \quad (1.4)$$

$$(u_2 - \tau) \frac{\partial g_2}{\partial \tau} - \frac{\gamma}{2} \frac{\partial g_2}{\partial u_2} \frac{d}{d\tau} \left(\ln \int_{-\infty}^{\infty} [g_1 + g_2] du \right) = 0 \quad \left(\gamma = \frac{M_1}{M_2} \right)$$

Рассмотрим уравнения для первых моментов функции распределения: средней (направленной) скорости v_i и плотности ионов N_i

$$\frac{\partial N_i}{\partial t} + \frac{\partial}{\partial x} (N_i v_i) = 0 \quad (1.5)$$

$$M_i \left[\frac{\partial v_i}{\partial t} + v_i \frac{\partial v_i}{\partial x} \right] = - T_e \frac{\partial \ln (N_1 + N_2)}{\partial x}$$

В безразмерных переменных они имеют вид

$$(u_1 - \tau) \frac{d \ln N_1}{d\tau} + \frac{du_1}{d\tau} = 0, \quad (u_2 - \tau) \frac{d \ln N_2}{d\tau} + \frac{du_2}{d\tau} = 0 \quad (1.6)$$

$$(u_1 - \tau) \frac{du_1}{d\tau} + \frac{1}{2} \frac{d \ln (N_1 + N_2)}{d\tau} = 0, \quad (u_2 - \tau) \frac{du_2}{d\tau} + \frac{\gamma}{2} \frac{d \ln (N_1 + N_2)}{d\tau} = 0$$

Будем считать, полагая плазму достаточно холодной, т. е. пренебрегая тепловым движением ионов, что уравнения (1.6) справедливы при всех τ , начиная с некоторого определяемого ниже τ_0 . Сформулируем граничные условия для уравнений (1.6) следующим образом. Известно (см., например, [3]), что одномерное автомодельное движение сжимаемого газа можно представить как распространение нестационарной волны разрежения, границами которой являются слабые разрывы, движущиеся с местной скоростью звука. Такое представление справедливо и для рассматриваемой задачи, поскольку физическая картина процесса и уравнения (1.5) сходны с газодинамическими. Будем считать, что в направлении $\tau < 0$ распространяется нестационарная волна разрежения, передний фронт которой — слабый разрыв; слева от него находится область невозмущенной плазмы — $N_i = n_{i0}, u_i = 0$, справа — область, где плотность и скорость ионов описываются решениями системы (1.6). Сначала найдем скорость движения слабого разрыва для плазмы, состоящей из ионов одного сорта. Переидем к системе координат, связанной с разрывом: вместо x рассмотрим координату $\xi = x + at$, где a — искомая скорость распространения слабого разрыва, для которой нетрудно получить

$$a^2 = T_e / M \quad (1.7)$$

Она, как и следовало ожидать, совпадает со скоростью ионного звука в плазме [4]. Таким образом, на разрыве — при $\xi = 0$ или $x/t = -a$ — для решений $N/N_0 = C \exp(-\tau \sqrt{2})$ и $u = \tau + 1/2 \sqrt{2}$ (см. [1]) должны выполняться следующие условия:

$$1 = C \exp \left[- \left(\frac{M}{T_e} \right)^{1/2} \frac{x}{t} \right], \quad 0 = \left(\frac{M}{2T_e} \right)^{1/2} \frac{x}{t} + \frac{1}{\sqrt{2}}$$

Отсюда находим $C = 1/e$, что согласуется с [1]. В поставленной задаче плазма состоит из ионов двух сортов, и скорости движения разрывов для этих «ионных газов», вообще говоря, могут быть различными. Однако можно показать, что при движении волны разрежения по смеси не-

подвижных газов существует только одна (в данном направлении) скорость распространения слабого разрыва. Для обычных уравнений газодинамики это сделано в [5, 6]. Рассмотрим систему уравнений (1.5), полагая при этом (см. [7]) все гидродинамические функции Φ_i непрерывными на разрыве, а скачок их производных, отличный от нуля, равным

$$[\partial\Phi_i/\partial x] = \lambda_{\Phi_i} n, \quad [\partial\Phi_i/\partial t] = -\lambda_{\Phi_i} a$$

Здесь n — единичный вектор нормали к поверхности разрыва, a — скорость распространения разрыва. Тогда имеем

$$\begin{aligned} -\lambda_{N_1} a + \lambda_{N_1} v_i n + \lambda_{v_i} N_i n &= 0 \\ a_i (\lambda_{N_1} + \lambda_{N_2}) &= -(N_1 + N_2) (\lambda_{v_i} v_i n - \lambda_{v_i} a) \end{aligned}$$

где a_i — скорость звука в плазме с ионами i -го сорта. Условием разрешимости этой системы четырех уравнений относительно λ_{N_1} и λ_{v_i} будет

$$(a - V_{1n})^2 N_2 a_2^2 + (a - V_{2n})^2 N_1 a_1^2 = (a - V_{1n})^2 (a - V_{2n})^2 (N_1 + N_2)$$

Вообще, это уравнение имеет три ненулевых корня, причем два из них отрицательны, но в случае движения по неподвижной смеси ($V_{1n} = V_{2n} = 0$, $N_{1n} = n_{10}$, $N_{2n} = n_{20}$) имеем

$$a^2 = \frac{n_{10} a_1^2 + n_{20} a_2^2}{n_{10} + n_{20}}$$

Отсюда для волны, бегущей в направлении $x < 0$

$$a = \left(\frac{T_e}{M_1} \frac{\gamma n_{20} + n_{10}}{n_{20} + n_{10}} \right)^{1/2}$$

2. Ввиду того что получить точное решение системы (1.6) не удалось, помимо нахождения численного решения исследовались ее асимптотические свойства при $\gamma \rightarrow 1$, т. е. в случае близости масс двух сортов ионов (предельный случай $M_1 = M_2$ дает работы [1]). При этом решение уравнений (1.6) искалось в виде

$$u_i = u_0 + \delta v_i, \quad N_i^\circ = N_{0i}^\circ + \delta n_i \quad (N_i^\circ = N_i / N_0) \quad (2.1)$$

Здесь δv_i и δn_i — малые добавки к «основным» решениям u_0 и N_{0i}° , дающим соответственно среднюю скорость и плотность — точное решение системы (1.6) в предельном случае $\gamma = 1$. Они были получены в работе [2]

$$N_{10}^\circ = \frac{n_{10} \exp(-V\bar{\tau} - 1)}{n_{10} + n_{20}} = \frac{\exp(-V\bar{\tau} - 1)}{1 + \eta} \quad (2.2)$$

$$N_{20}^\circ = \frac{n_{20} \exp(-V\bar{\tau} - 1)}{n_{10} + n_{20}} = \frac{\eta \exp(-V\bar{\tau} - 1)}{1 + \eta}$$

$$u_0 = \tau + 1/2 \sqrt{2}, \quad \eta = n_{20}/n_{10}, \quad N_0 = n_{10} + n_{20}$$

Подставим (2.1) и (2.2) в уравнения (1.6). Считая, что добавки δv_i и δn_i малы, и оставляя лишь линейные относительно них и $\varepsilon = 1 - \gamma$ члены, получаем систему линейных уравнений

$$\begin{aligned} (1 + \eta) \exp(V\bar{\tau} + 1) (V\bar{2} \delta n_1 + d\delta n_1/d\tau) + V\bar{2} d\delta v_1/d\tau - 2\delta v_1 &= 0 \\ (1 + \eta) \exp(V\bar{\tau} + 1) (V\bar{2} \delta n_2 + d\delta n_2/d\tau) + \eta (V\bar{2} d\delta v_2/d\tau - 2\delta v_2) &= 0 \quad (2.3) \\ \exp(V\bar{\tau} + 1) [V\bar{2} (\delta n_1 + \delta n_2) + d(\delta n_1 + \delta n_2)/d\tau] + V\bar{2} d\delta v_1/d\tau + 2\delta v_1 &= 0 \\ \exp(V\bar{\tau} + 1) [V\bar{2} (\delta n_1 + \delta n_2) + d(\delta n_1 + \delta n_2)/d\tau] + V\bar{2} d\delta v_2/d\tau + 2\delta v_2 &= \\ &=: V\bar{2}(\gamma - 1) \end{aligned}$$

Решение этой системы имеет вид

$$\begin{aligned} \delta v_1 &= \frac{B\eta}{\eta+1} \exp(-V\bar{2}\tau) + \frac{(1-\gamma)\eta}{2V^2(\eta+1)} \\ \delta v_2 &= -\frac{B\eta}{\eta+1} \exp(-V\bar{2}\tau) - \frac{(1-\gamma)(\eta+2)}{2V^2(\eta+1)} \\ \delta n_1 &= -\frac{2V^2\eta B}{(\eta+1)^2} \exp(-2V\bar{2}\tau-1) + \\ &+ \frac{(1-\gamma)\eta}{V^2(\eta+1)^2} \tau \exp(-V\bar{2}\tau-1) + C_1 \exp(-V\bar{2}\tau) \\ \delta n_2 &= \frac{2V^2\eta B}{(\eta+1)^2} \exp(-2V\bar{2}\tau-1) - \\ &- \frac{(1-\gamma)\eta(\eta+2)}{V^2(\eta+1)^2} \tau \exp(-V\bar{2}\tau-1) + C_2 \exp(-V\bar{2}\tau) \end{aligned} \quad (2.4)$$

Постоянные интегрирования B и C_i находятся из условий на слабом разрыве, где

$$u_1 = u_2 = 0, \quad N_1^\circ = \frac{n_{10}}{N_0} = \frac{1}{1+\eta}, \quad N_2^\circ = \frac{n_{20}}{N_0} = \frac{\eta}{1+\eta}$$

Выше было показано, что в системе координат, связанной с разрывом, его координате $\xi = 0$ отвечает значение $x/t = -a$, где a — скорость распространения слабого разрыва в плазме. В переменных τ это означает, что координата разрыва

$$\tau_0 = -\left(\frac{\gamma\eta+1}{2[1+\eta]}\right)^{1/2}$$

Так как решается система линеаризованных уравнений, то необходимо линеаризовать по ε выражение для скорости распространения разрыва, которое после этого будет иметь вид

$$\tau_0' = -\frac{1}{2V^2} \left(\frac{1}{2} + \frac{\gamma\eta+1}{\eta+1} \right)$$

Подстановка решений (2.2) и (2.4) в (2.1) дает такое же значение τ_0' , а также следующие значения констант:

$$\begin{aligned} B &= \frac{\gamma-1}{V^2} \exp\left[-\frac{1}{2}\left(1+\frac{\gamma\eta+1}{\eta+1}\right)\right] \\ C_1 &= \frac{1}{1+\eta} \left\{ \exp(V\bar{2}\tau_0') - \frac{1}{e} \left[1 + \frac{(1-\gamma)\eta(6+7\eta-\gamma\eta)}{4(\eta+1)^2} \right] \right\} \\ C_2 &= \frac{\eta}{1+\eta} \left\{ \exp(V\bar{2}\tau_0') - \frac{1}{e} \left[1 + \frac{(1-\gamma)(\eta^2(1+\gamma)+2\eta(\gamma-2)-4)}{4(\eta+1)^2} \right] \right\} \end{aligned} \quad (2.5)$$

Полученные решения (2.4) для добавок δv_i и δn_i с коэффициентами (2.5) удовлетворяют необходимым условиям: при $\gamma=1$ $\delta v_i=0$, $\delta n_i=0$, что следует непосредственно из (2.5); при $\gamma \lesssim 1$ добавки малы, так как они пропорциональны величине $\varepsilon = 1-\gamma$.

Рассмотрим поведение скоростей ионов $u_i = u_0 + \delta v_i$ при различных τ в зависимости от масс ионов и соотношения между ними, т. е. от γ . Слабый разрыв, являющийся границей между невозмущенной и расширяющейся плазмой, движется со скоростью a , меньшей чем скорость разрыва

в задаче с одним «легким» сортом ионов ($a_2 < a < a_1$); и, следовательно, скорость вылетающих ионов как легких, так и тяжелых относительно разрыва будет меньше по сравнению с предельным случаем, причем при уменьшении $\gamma = M_1 / M_2$ эта разность возрастает. Более подробный анализ показывает при сравнении u_1 и u_2 с $u = \tau + \frac{1}{2}\sqrt{2}$ в точках, равноотстоящих от соответствующего разрыва, что u больше u_2 и меньше u_1 везде, за исключением малой области, примыкающей к разрыву.

Таким образом, на слабом разрыве скорости u_1 и u_2 совпадают: они равны нулю относительно плазмы, но «ускорения» $du_1 / d\tau$ и $du_2 / d\tau$ различны — $du_1 / d\tau > 1$, $du_2 / d\tau < 1$. Это говорит о том, что легкие ионы сразу приобретают скорость большую, чем скорость тяжелых, что хорошо подтверждается анализом их поведения в точке $\tau = 0$, являющейся особой, поскольку в ней в любой момент времени скорость и плотность каждого сорта частиц остаются постоянными. Для плазмы с одним сортом ионов это были значения $u^\circ = \frac{1}{2}\sqrt{2}$, $N^\circ = \frac{1}{2}e$. Сравнение скоростей ионов в рассматриваемой задаче с u° дает неравенство $u_1^\circ > u^\circ > u_2^\circ$, т. е. разлет разных сортов тяжелых частиц в точке $\tau = 0$ идет с разными скоростями, причем также постоянными по времени. При $\tau \rightarrow \infty$ разность между скоростями легких и тяжелых ионов уменьшается, хотя всегда выполняется условие

$$u_1 - u_2 > \frac{1}{2}(1 - \gamma)\sqrt{2}$$

т. е. имеет место расслоение плазмы на слои легких, идущих впереди, и тяжелых ионов. Этот факт доказывается не только тем, что $u_1 > u_2$ при всех τ , но и тем, что $du_1 / d\tau > 1$, а $0 < du_2 / d\tau < 1$ в любой точке, хотя при $\tau \rightarrow \infty$ оба ускорения стремятся к единице.

Последнее позволяет сделать следующее замечание. Разлет по инерции, происходящий в холодной плазме с ионами одного сорта практически с самого начала расширения, здесь наступит не сразу, хотя и экспоненциально быстро, и будет отличен, так как массы различны, для легких и тяжелых ионов.

Такую задержку по τ в стабилизации ускорения ионов, причем такого же по величине, как и в той задаче, можно объяснить более долгим (по τ) процессом установления электрического поля, который связан с более сложным, чем ранее, характером распределения ионов ввиду различия их масс. Отметим еще одну важную особенность решения. Если в пределе $\tau \rightarrow \infty$ все производные $du_i / d\tau$, $du_i / d\tau$ совпадают, то сами скорости, или, вернее, характеристики уравнений (1.4), сгущаются к разным асимптотам: для u , как показано в [1], это прямая $u = \tau + \frac{1}{2}\sqrt{2}$. В данной задаче прямые $u_1 = \tau + \frac{1}{2}\sqrt{2} + (1 - \gamma)\eta / 2\sqrt{2}(\eta + 1)$ для легких ионов и $u_2 = \tau + \frac{1}{2}\sqrt{2} + (1 - \gamma)(\eta + 2) / 2\sqrt{2}(\eta + 1)$ для тяжелых ионов.

Анализ полученных решений N_1° и N_2° более сложен, так как при этом существенно влияние начального задания концентраций n_{10} и n_{20} , т. е. величины параметра η . Рассмотрим три возможных случая.

1. Пусть $\eta = 1$. В каждый момент времени всю область разлета можно разбить на две: область отрицательных τ , расположенную между разрывом и границей $x = 0$, очень малую по величине (так как $|\tau_0'| < \frac{1}{2}\sqrt{2}$), и область $\tau > 0$, которая нас в основном интересует. В первой области в данном случае будет очень малое преобладание числа тяжелых ионов, что подтверждается неравенствами, полученными при анализе решения

$$\left[\frac{dN_2^\circ}{d\tau} - \frac{dN_1^\circ}{d\tau} \right]_{\tau=\tau_0'} \sim 0.7\varepsilon, \quad [N_2^\circ - N_1^\circ]_{\tau=0} \sim 0.05\varepsilon$$

Для положительных значений τ величина N_1° станет больше N_2° , поскольку основной вклад здесь дают члены вида $\tau \exp(-\sqrt{2}\tau)$, которые уменьшают для легких и увеличивают для тяжелых ионов спад концентрации с ростом τ .

2. При $\eta < 1$ из-за большого начального количества легких ионов $N_1^\circ > N_2^\circ$ уже на разрыве, и это неравенство может только усиливаться при $\tau \rightarrow +\infty$.

3. Если $\eta > 1$, то в первой области концентрация тяжелых ионов выше, чем легких; в точке $\tau = 0$ разность между ними больше, чем при $\eta = 1$. Поэтому во второй области она будет сохраняться в пользу тяжелых ионов «дольше» по τ (по сравнению с первым случаем), но при $\tau \rightarrow +\infty$ всегда найдется такое значение τ , при котором N_1° превысит N_2° независимо от выбора начальных концентраций.

Влияние величины параметра γ на функции u_i и N_i° оказывается довольно элементарным: чем сильнее неравенство $M_1 < M_2$ (в рамках предельного случая $\gamma \sim 1$), тем больше отличаются одна от другой скорости и концентрации легких и тяжелых ионов, все отмеченные выше эффекты становятся более четкими и заметными.

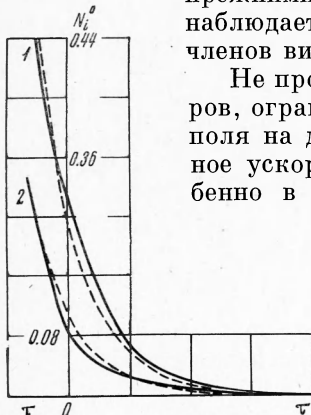
Анализ поведения других безразмерных величин, характеризующих расширение плазмы в вакууме — потенциала $\phi = \ln(N_1^\circ + N_2^\circ)$ и силы $F = -d\phi/dt$ — выявил некоторое отличие их от аналогичных параметров (Φ и F) в задаче с ионами одного сорта. Сразу за разрывом ϕ становится больше Φ . С ростом τ эта разность увеличивается, хотя относительное изменение $(\phi - \Phi)/\Phi$ достигает максимума ($\sim 10\%$) при $\tau \sim 1$. При $\tau \rightarrow +\infty$ асимптотики потенциала $\phi \rightarrow -\sqrt{2}\tau$ и силы $F \rightarrow \sqrt{2}$ остаются

прежними, с той лишь разницей, что в нашей задаче наблюдается отмеченная выше «задержка по τ » за счет членов вида $\ln t$ в ϕ и поправки $1/\tau$ к F .

Не проводя полного численного расчета этих параметров, ограничимся замечанием о влиянии электрического поля на движение плазмы. Еще в [1] было отмечено сильное ускорение части ионов электрическим полем, особенно в разнотемпературной плазме; в рассматриваемой задаче можно показать, что средняя энергия ионов обоих сортов равна при больших τ

$$\varepsilon_1 = T_e \left[\tau^2 + \tau \left(\sqrt{2} + \frac{(1-\gamma)\eta}{\sqrt{2}(\eta+1)} \right) \right]$$

$$\varepsilon_2 = T_e \left[\tau^2 + \tau \left(\sqrt{2} - \frac{(1-\gamma)(\eta+2)}{\sqrt{2}(\eta+1)} \right) \right] \quad (2.6)$$



Фиг. 1

и, как и следовало ожидать, легкие ионы ускоряются сильнее тяжелых.

3. Численное интегрирование на ЭВЦМ уравнений (1.6) производилось методом Эйлера — шагами по τ , начиная с

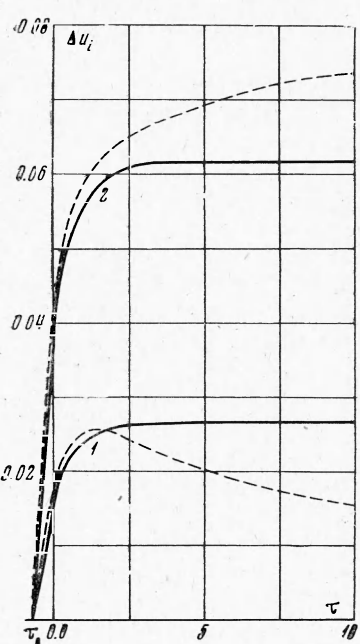
$$\tau_0 = \left[\frac{\gamma\eta+1}{2(\eta+1)} \right]^{1/2}$$

при котором задавались начальные значения концентраций

$$N_{10}^\circ = 1 / (1 + \eta), \quad N_{20}^\circ = \eta / (1 + \eta)$$

и скоростей $u_i^\circ = 0$. Для конкретного расчета была взята плазма воздуха с параметрами $\gamma = 7/8$, $\eta = 3/7$.

Приведены результаты расчета для некоторых значений τ .



Фиг. 2

и малое, расхождение. Кроме того, в области $\tau \sim 1$ численный расчет дает максимум ускорения легких ионов du_1/dt , а следовательно, и $u_1 - u^*$ (фиг. 2), что не следует из приближенного решения. А из анализа исходной системы моментных уравнений (1.6) вытекает, что на отрезке $[\tau_0, \infty]$ функция $d^2u_1/d\tau^2$ меняет знак, в то время как функция $d^2u_2/d\tau^2$ знакопостоянна. В связи с этим был проведен дополнительный расчет на ЭВЦМ для различных значений параметров γ и η , анализ которого подтвердил существование отмеченных выше особенностей решения задачи. Заметим, что зависимость от γ (в рамках предельного случая $\gamma \sim 1$) оказалась довольно слабой, особенно для плотностей ионов.

Таким образом, найдены как численное, так и приближенное аналитическое решения рассматриваемой задачи, но последнее справедливо в более узкой области, что ограничивает возможность его применимости и требует дополнительного исследования нелинейностей, возникающих при больших τ .

В заключение автор благодарит Н. Т. Пащенко за постановку задачи и постоянное внимание к работе.

Поступила 30 XII 1968

ЛИТЕРАТУРА

- Гуревич А. В., Парижская Л. В., Питаевский Л. П. Автомодельное движение разреженной плазмы. ЖЭТФ, 1965, т. 49, вып. 3.
- Гуревич А. В., Парижская Л. В., Питаевский Л. П. Автомодельные движения разреженной плазмы. ЖЭТФ, 1968, т. 54, вып. 3.
- Ландау Л. Д., Лифшиц Е. М. Механика сплошных сред. М., Гостехиздат, 1954.
- Силин В. П., Рухадзе А. А. Электродинамика плазмы и плазмоподобных сред. М., Атомиздат, 1961.
- Клейман Я. З. О распространении волн слабого разрыва в многокомпонентной среде. Акуст. ж., 1958, т. 4, вып. 3.
- Клейман Я. З. Некоторые особенности движения смесей. Акуст. ж., 1959, т. 5, вып. 2.
- Кочин Н. Е., Кебель И. А., Розе Н. В. Теоретическая гидромеханика, ч. 2. М.—Л., Гостехиздат, 1948.